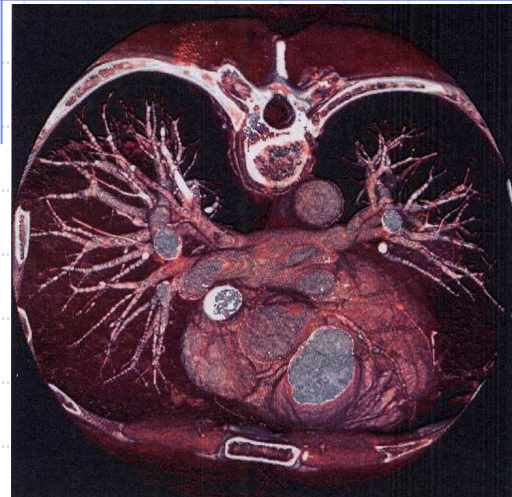


FORMATION TIC (Phymed, STIC,Télécom)

BASES DE TOMOGRAPHIE MEDICALE

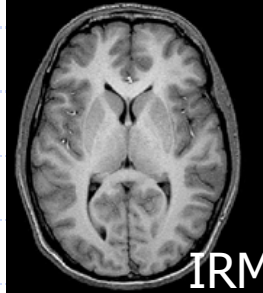
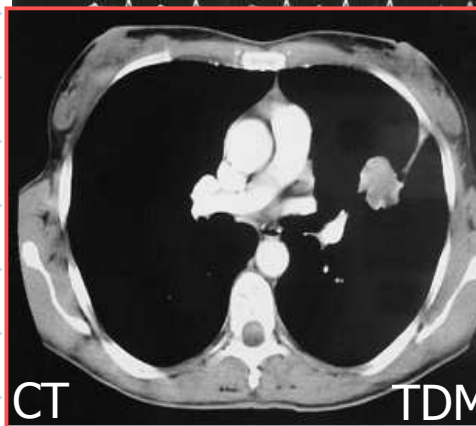


Denis Mariano-Goulart

Faculté de médecine & CHRU de Montpellier

<http://scinti.etud.univ-montp1.fr>

Imagerie médicale

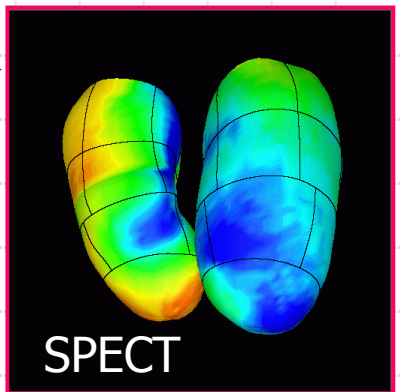
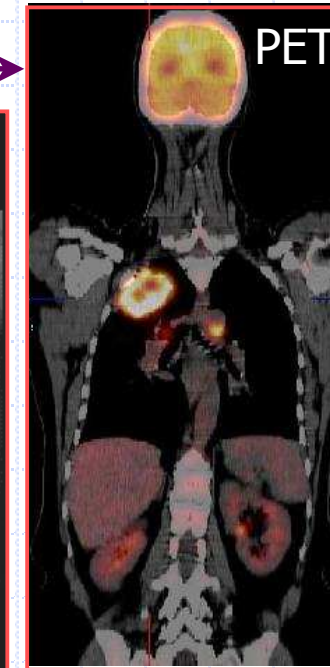
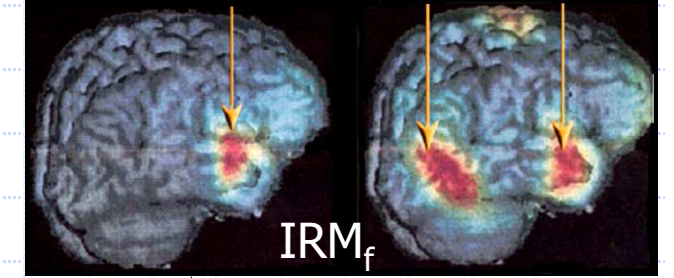


ANATOMIQUE

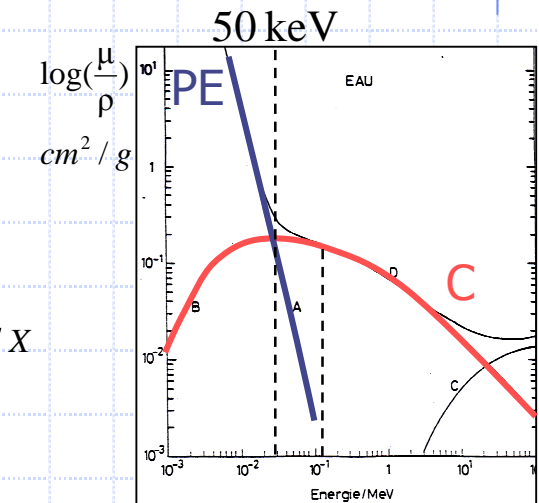
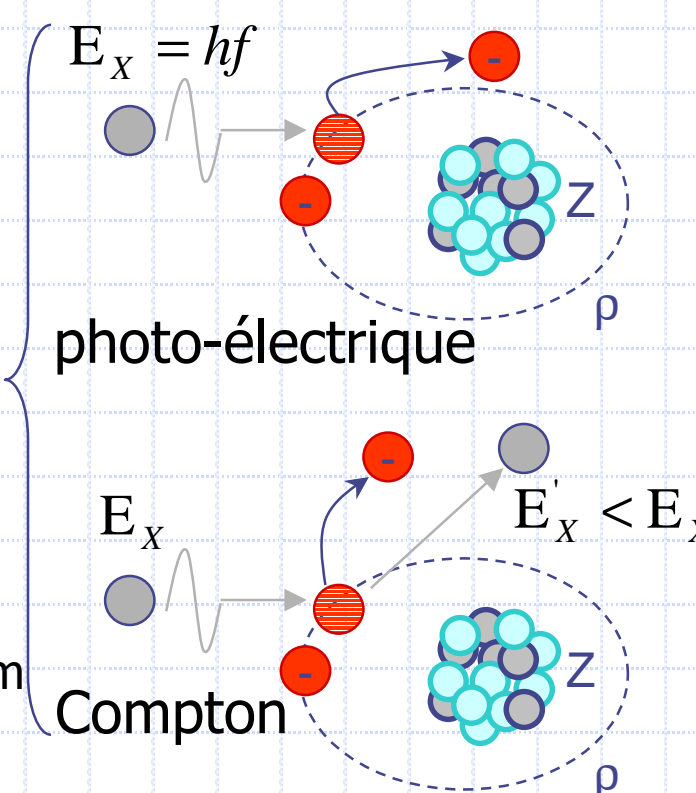
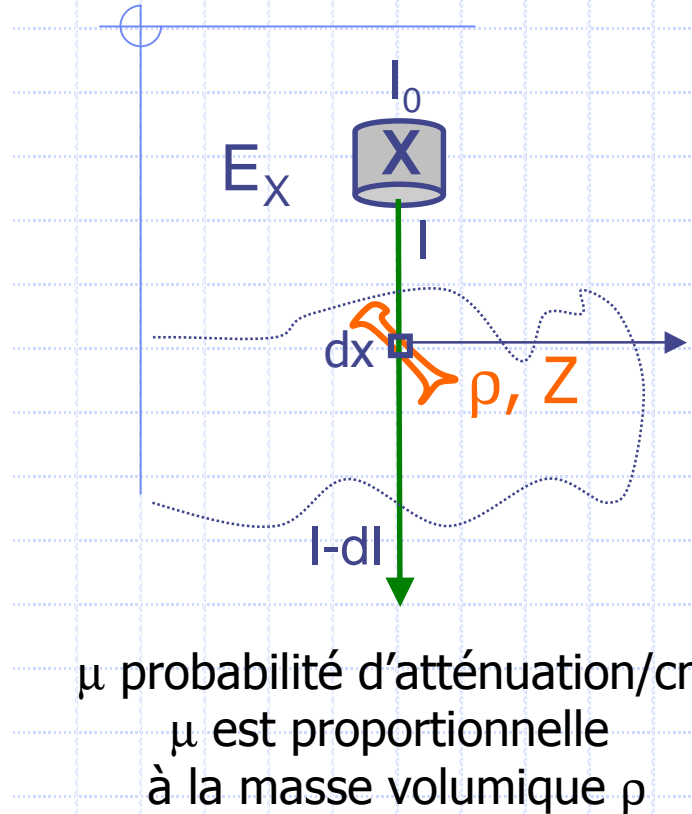
MÉTABOLIQUE

SPECT = TEMP gamma

FONCTIONNELLE

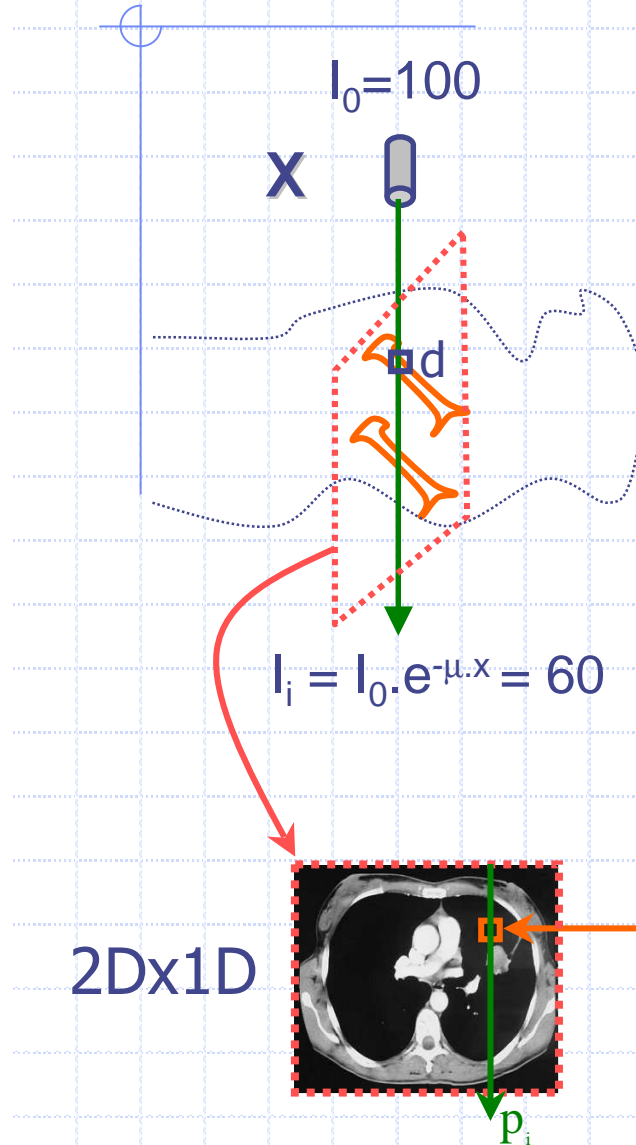


IMAGERIE DE TRANSMISSION X



$$\mu = -\frac{dI}{Ix} \text{ cm}^{-1} \propto \rho \Rightarrow I = I_0 \cdot e^{-\mu \cdot x}$$

Scanner X = Computed Tomography



$$I_i = I_0 e^{-\sum \mu_j \cdot d} = I_0 e^{-d \cdot \sum \mu_j}$$

$$\Rightarrow p_i = \sum \mu_j = -\frac{1}{d} \ln \frac{I_i}{I_0}$$

mesure

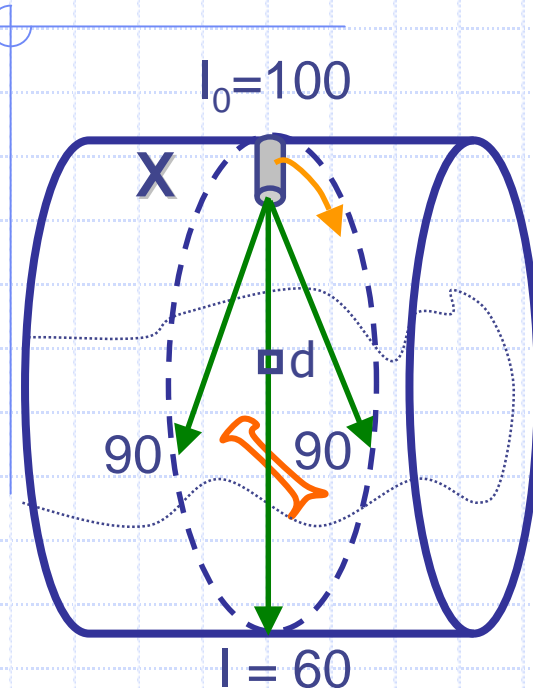
$r_{i,j}$ = contribution du pixel j à la projection i
paramètres géométriques connus du scanner

$$p_i = \sum r_{i,j} \cdot \mu_j$$

?

mesure

Scanner X = Computed Tomography



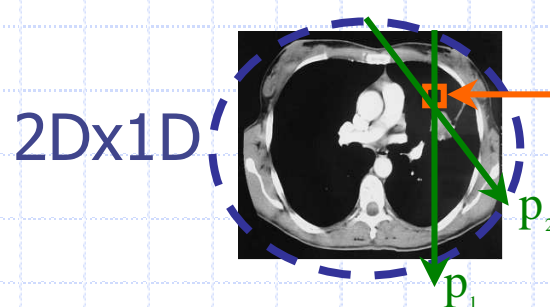
$$I_i = I_0 e^{-\sum \mu_j \cdot d} = I_0 e^{-d \cdot \sum \mu_j}$$

$$\Rightarrow p_i = \sum \mu_j = -\frac{1}{d} \ln \frac{I_i}{I_0}$$

$r_{i,j}$ = contribution du pixel j à la projection i
paramètres géométriques connus du scanner

$$p_i = \sum r_{i,j} \cdot \mu_j ?$$

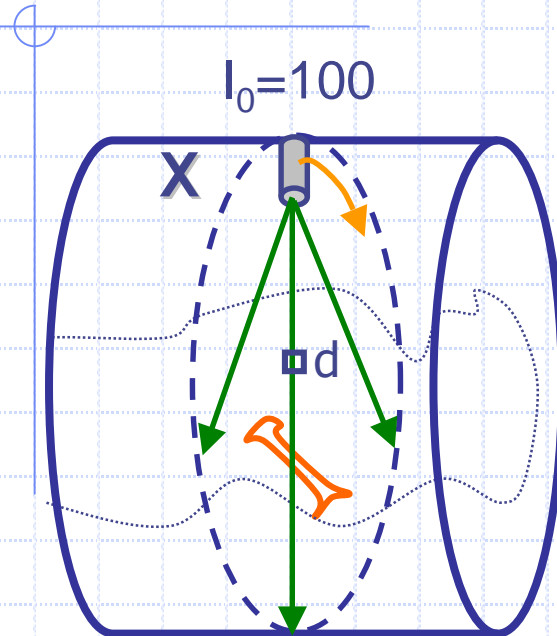
mesure



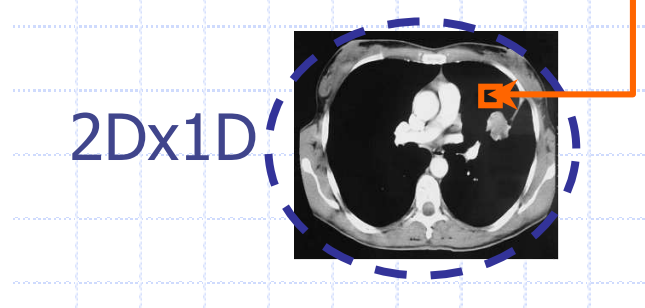
2Dx1D

$$\begin{cases} p_1 = r_{1,1}\mu_1 + r_{1,2}\mu_2 + \dots + r_{1,n}\mu_n \\ p_2 = r_{2,1}\mu_1 + r_{2,2}\mu_2 + \dots + r_{2,n}\mu_n \\ \dots \end{cases}$$

Scanner X = Computed Tomography

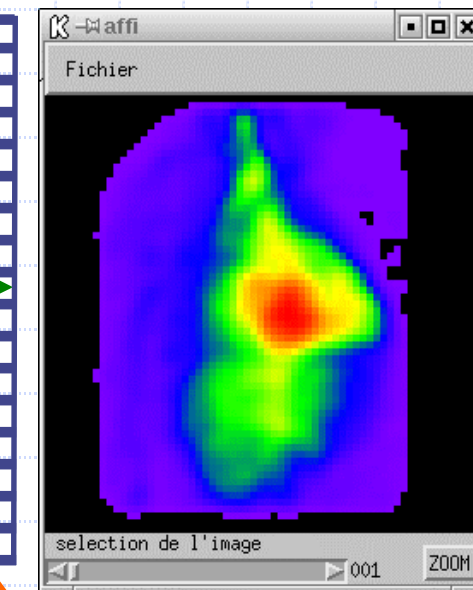
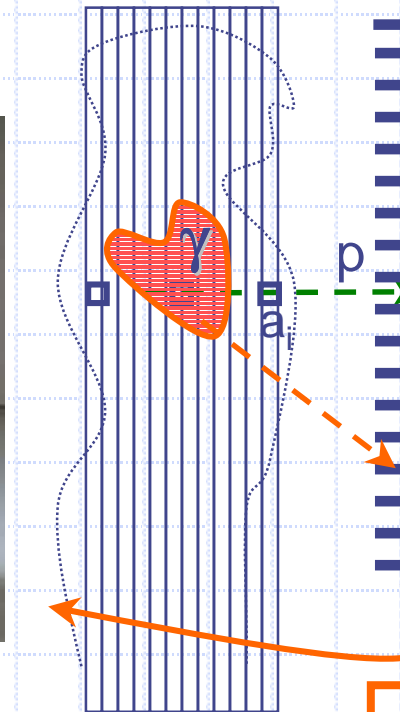


$$p_i = \sum_j r_{i,j} \mu_j, \quad i = 0 - 360^\circ$$

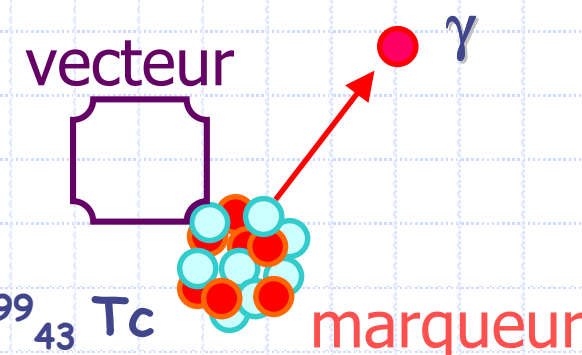


$r_{i,j}$ = contribution du pixel j à la projection i

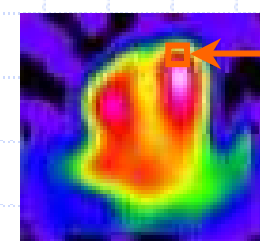
Single Photon Emission CT



2D

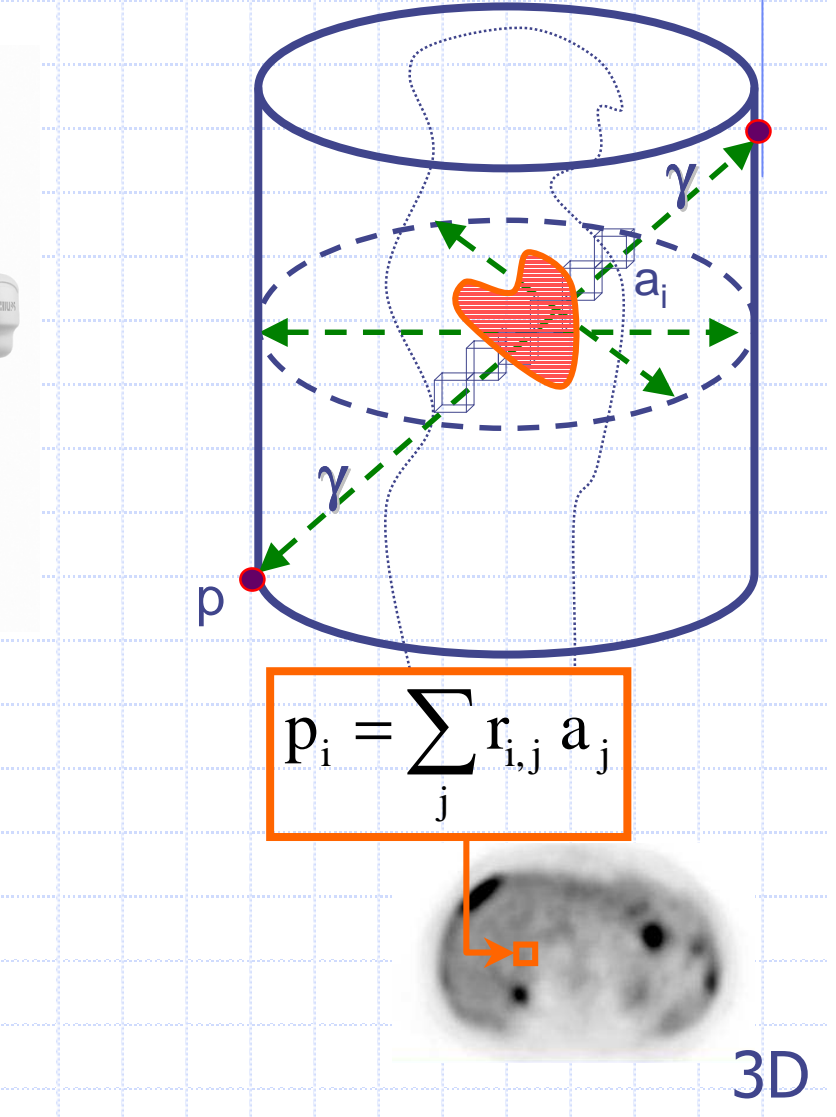
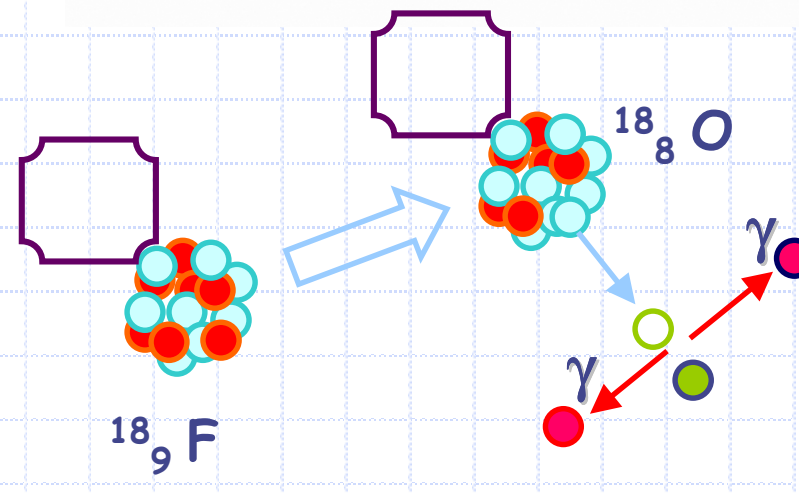


$$p_i = \sum_j r_{i,j} a_j, \quad i = 0 - 360^\circ$$

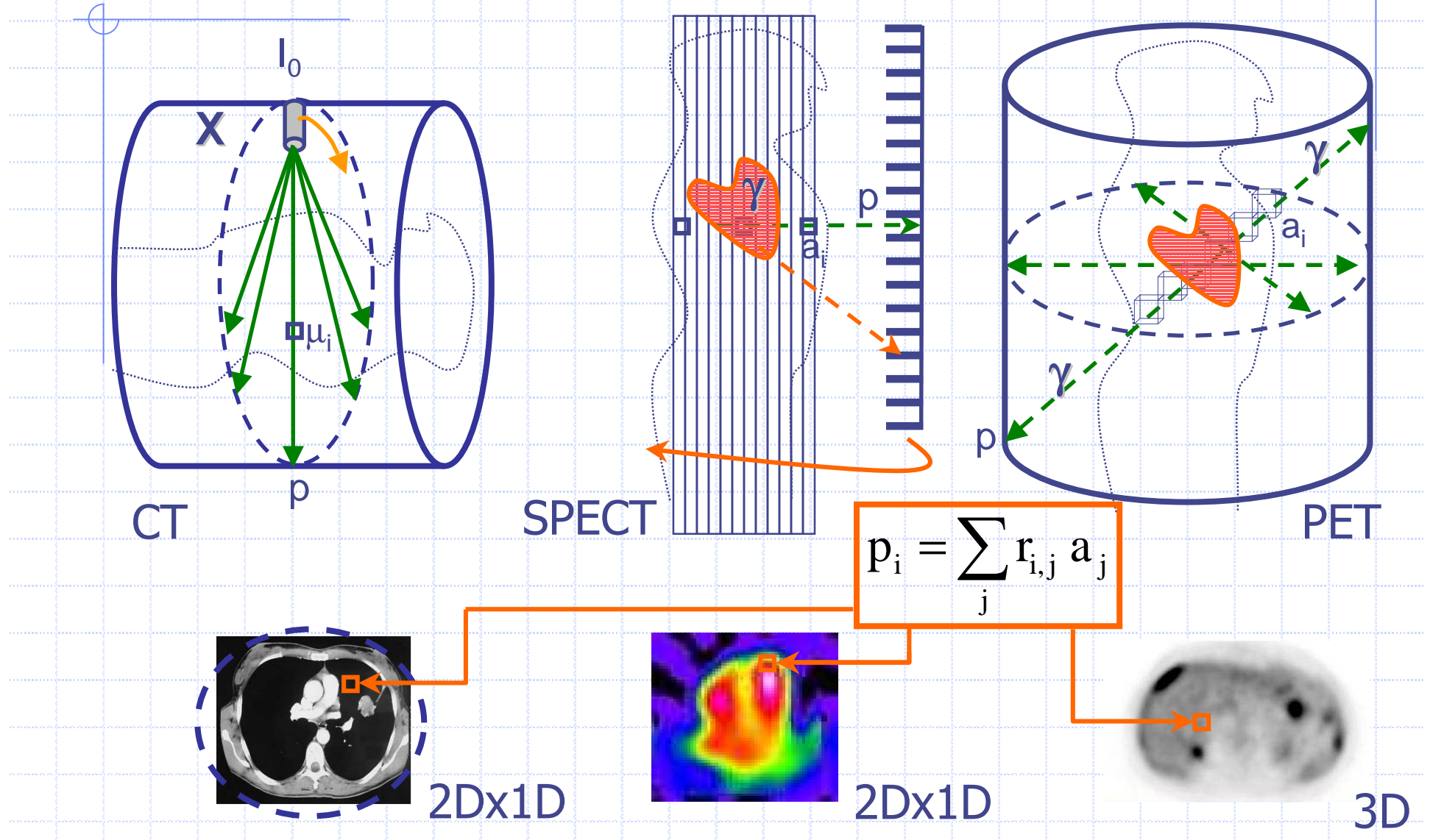


2Dx1D

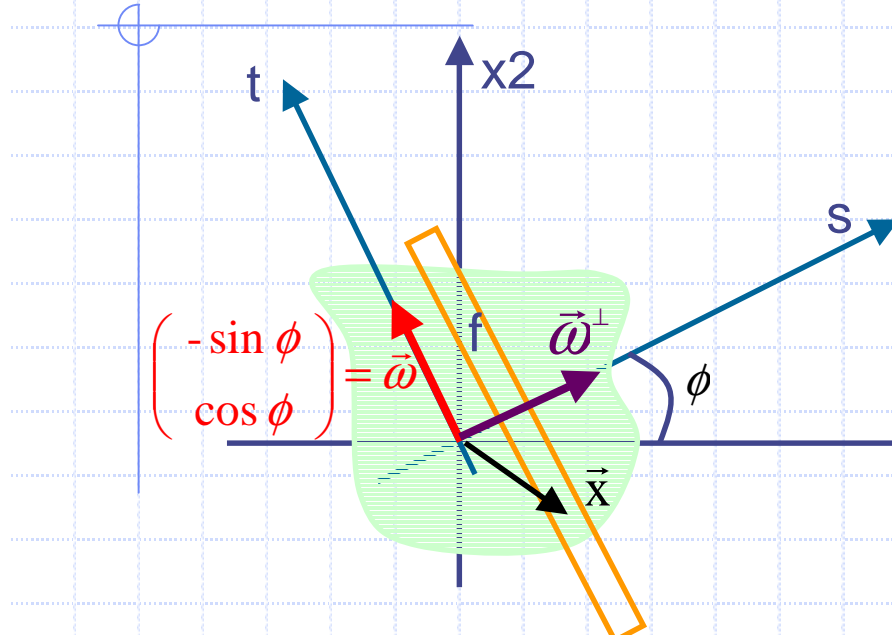
Tomographie par Emission de Positons



Tomographie: problème inverse linéaire



Modélisation analytique



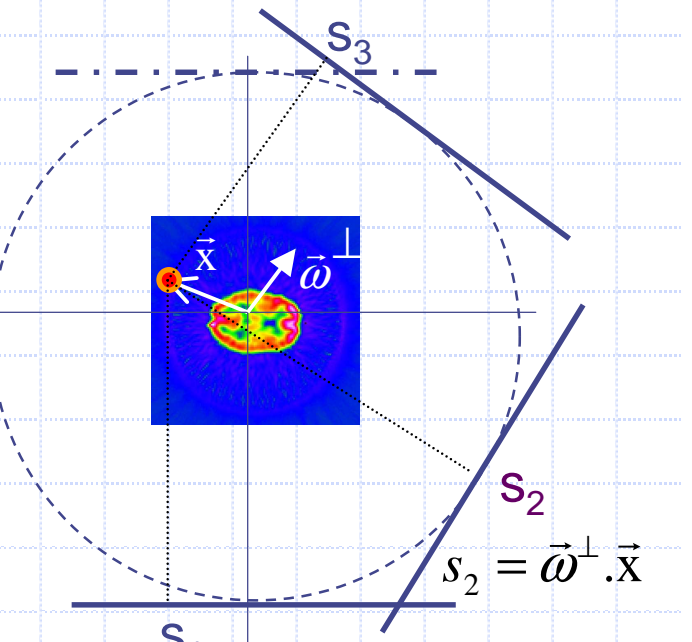
$$p(\vec{\omega}, s) = p_{\vec{\omega}}(s) = \int_t f(s \vec{\omega}^\perp + t \vec{\omega}) dt$$

$p = Rf$ transformée de Radon

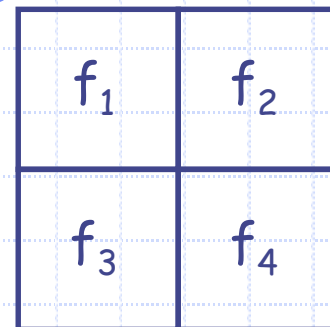
Nb: $\vec{x} \cdot \vec{\omega}^\perp = s$ où \vec{x} se projette suivant $\vec{\omega}$

$$(R^* p)(\vec{x}) = \int_{\phi=0}^{\pi} p(\vec{\omega}, \vec{\omega}^\perp \cdot \vec{x}) d\phi$$

rétroprojection = épandage



Modélisation algébrique



$$p_1 = r_{1,1} f_1 + r_{1,2} f_2$$

$$p_2 = r_{2,3} f_3 + r_{2,4} f_4$$

$$p_3 = r_{3,1} f_1 + r_{3,3} f_3$$

$$p_4 = r_{4,2} f_2 + r_{4,4} f_4$$

$$\begin{pmatrix} r_{1,1} & r_{1,2} & r_{1,3} & r_{1,4} \\ r_{2,1} & r_{2,2} & r_{2,3} & r_{2,4} \\ r_{3,1} & r_{3,2} & r_{3,3} & r_{3,4} \\ r_{4,1} & r_{4,2} & r_{4,3} & r_{4,4} \end{pmatrix} \cdot \begin{pmatrix} f_1 \\ f_2 \\ f_3 \\ f_4 \end{pmatrix} = \begin{pmatrix} p_1 \\ p_2 \\ p_3 \\ p_4 \end{pmatrix}$$

$r_{i,j} = \% \text{ du pixel } j \text{ intersecté par la projection } i$

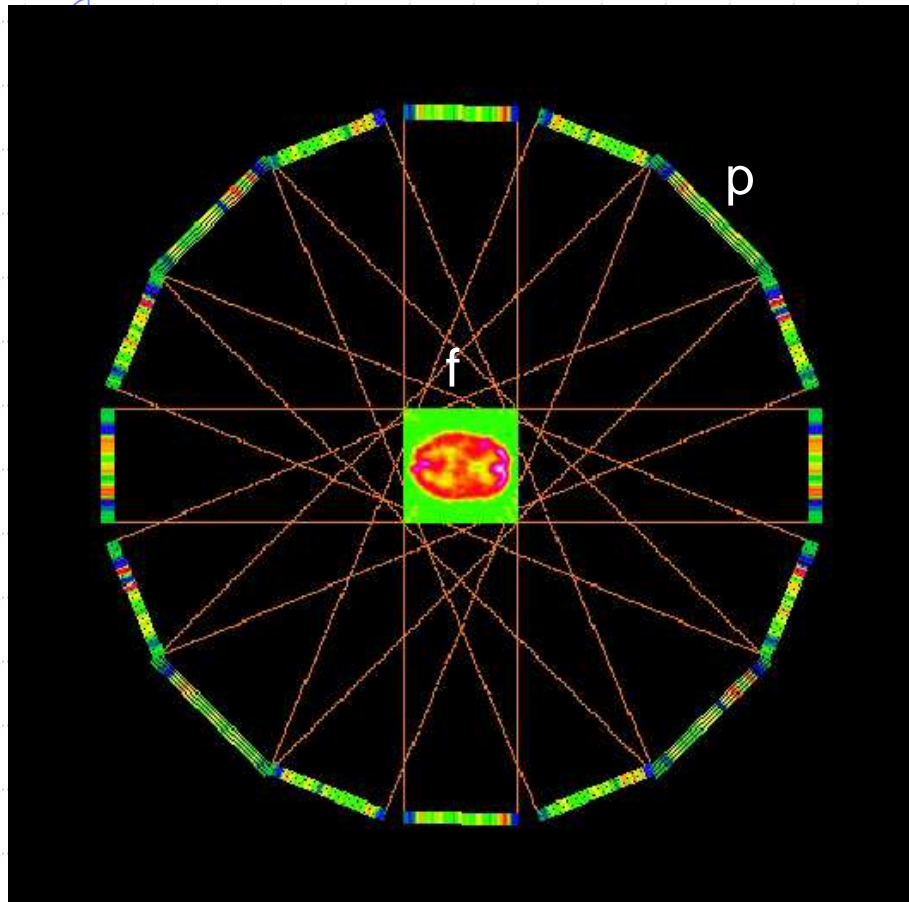
$$R \cdot \vec{f} = \vec{p}$$

$$\begin{pmatrix} r_{1,1} & r_{2,1} & r_{3,1} & r_{4,1} \\ r_{1,2} & r_{2,2} & r_{3,2} & r_{4,2} \\ r_{1,3} & r_{2,3} & r_{3,3} & r_{4,3} \\ r_{1,4} & r_{2,4} & r_{3,4} & r_{4,4} \end{pmatrix} \cdot \begin{pmatrix} p_1 \\ p_2 \\ p_3 \\ p_4 \end{pmatrix} = \begin{pmatrix} b_1 \\ b_2 \\ b_3 \\ b_4 \end{pmatrix}$$

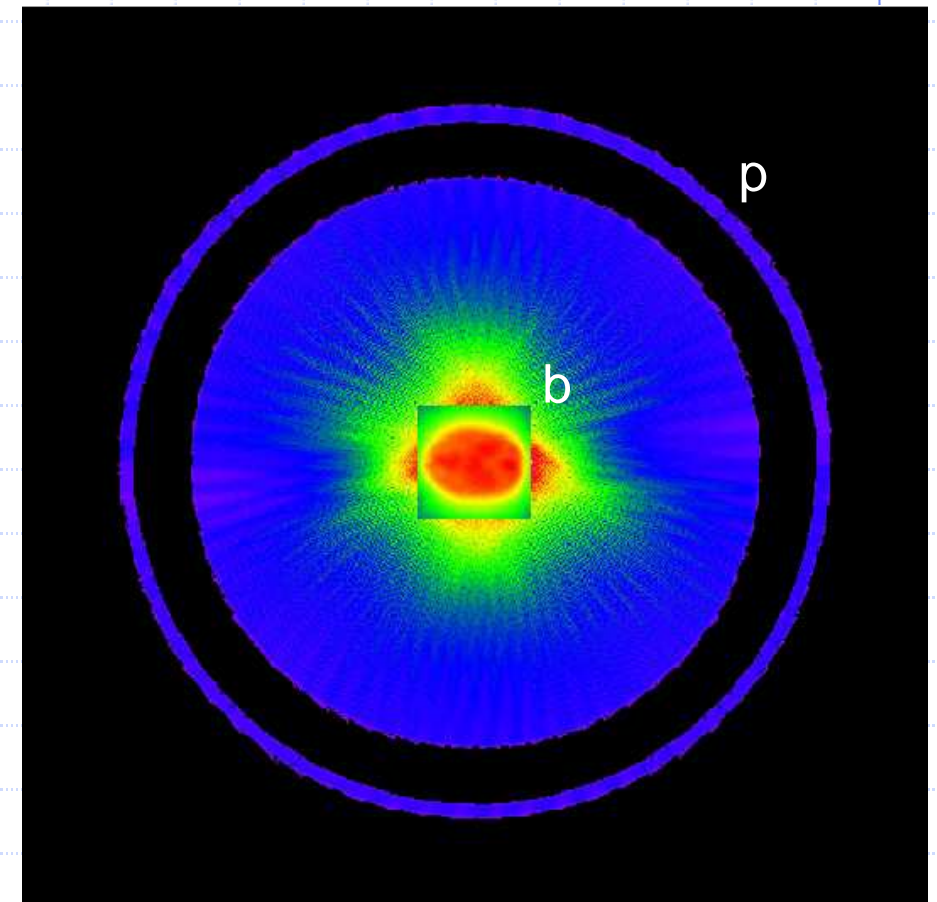
$$\begin{array}{c|c|c|c} b_1 = r_{1,1} p_1 + r_{3,1} p_3 & b_2 = r_{1,2} p_1 + r_{4,2} p_4 & b_3 = r_{2,3} p_2 + r_{3,3} p_3 & b_4 = r_{2,4} p_2 + r_{4,4} p_4 \\ \hline & & & \\ \hline & p_1 & p_2 & p_3 \\ \hline & p_4 & & p_4 \\ \hline \end{array}$$

$${}^t R \cdot \vec{p} = \vec{b}$$

Projection / Rétroprojection

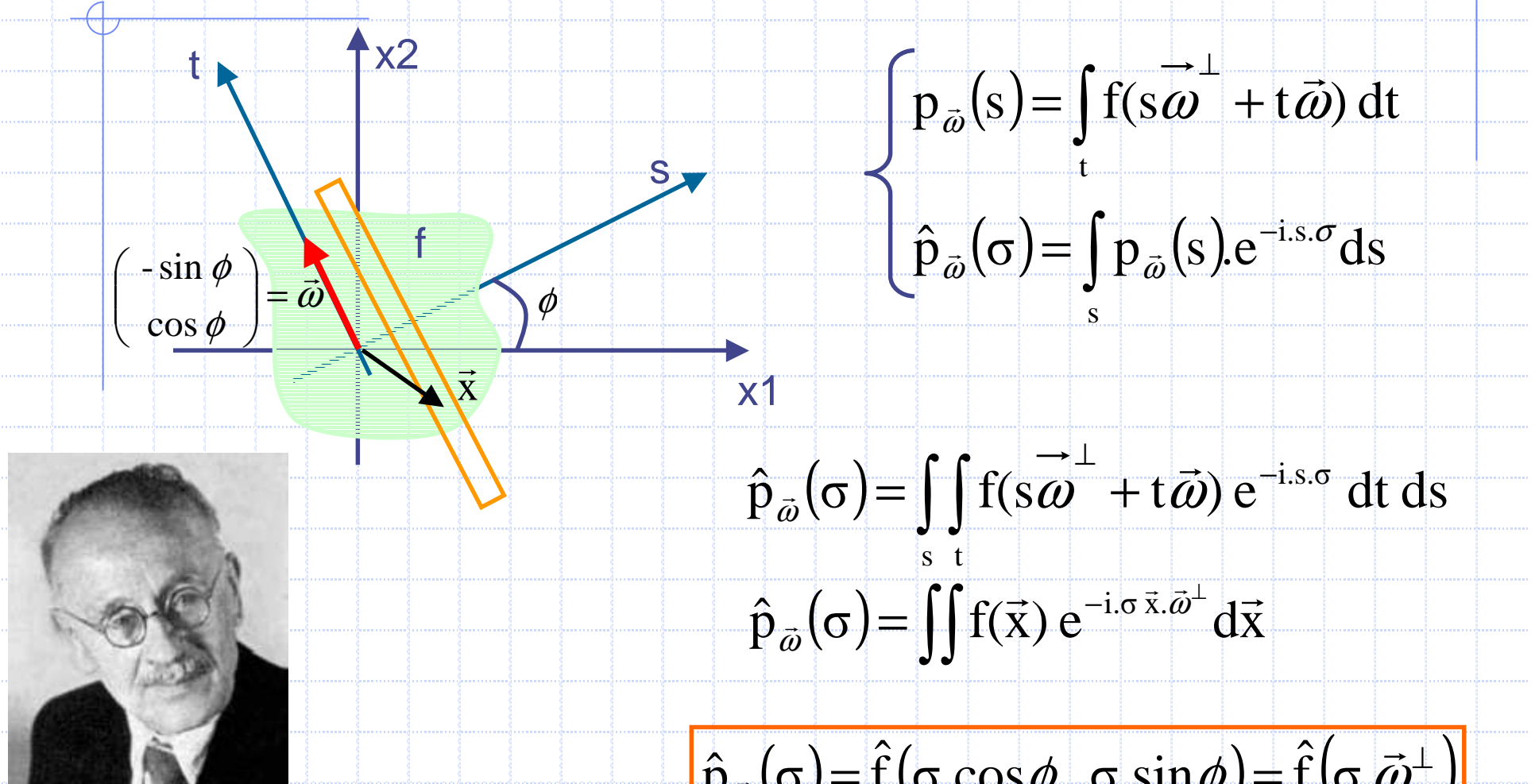


$$\vec{R} \cdot \vec{f} = \vec{p}$$



$$\vec{t}^T \vec{R} \cdot \vec{p} = \vec{b}$$

Théorème de coupe centrale



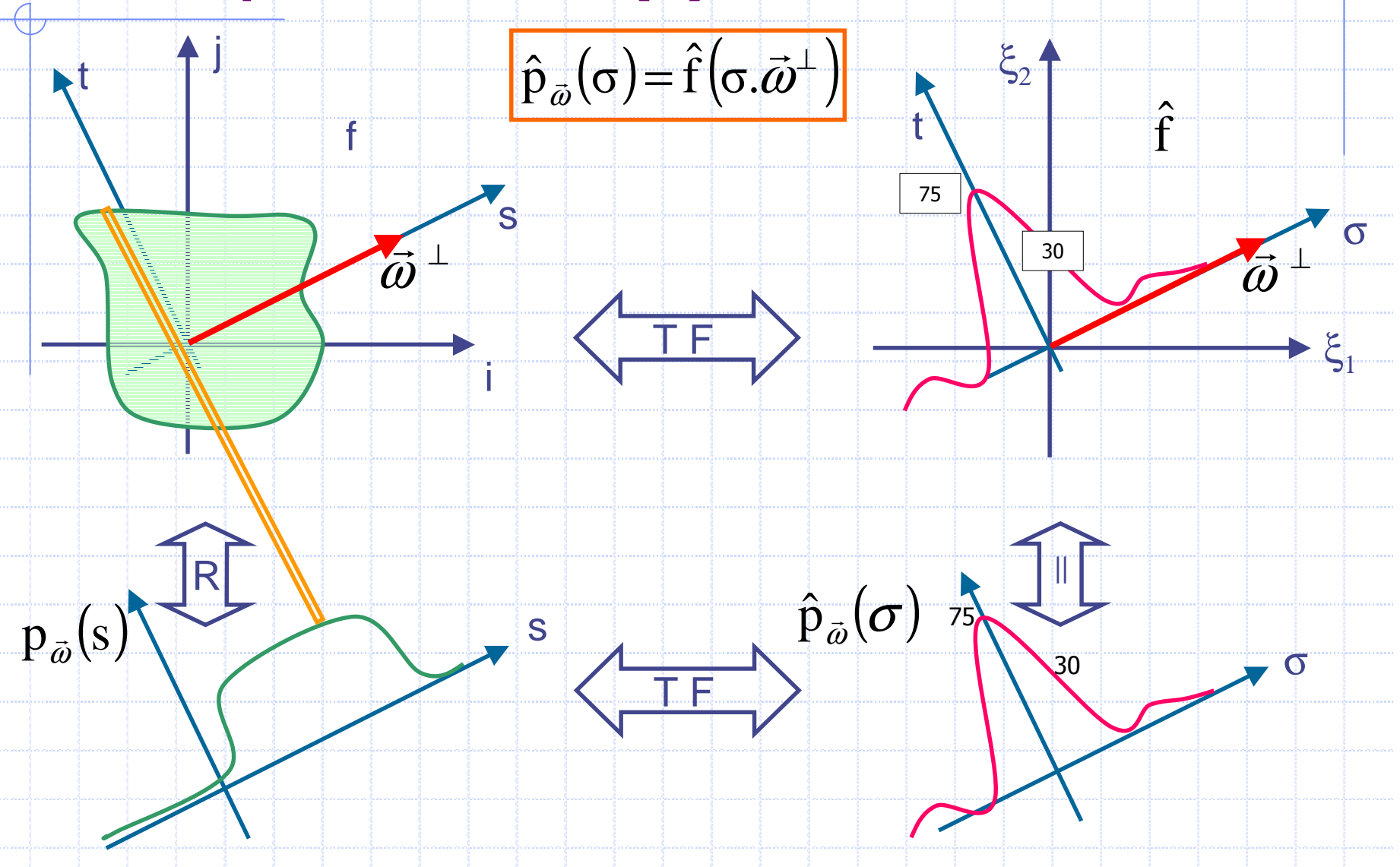
J. Radon

1887-1956

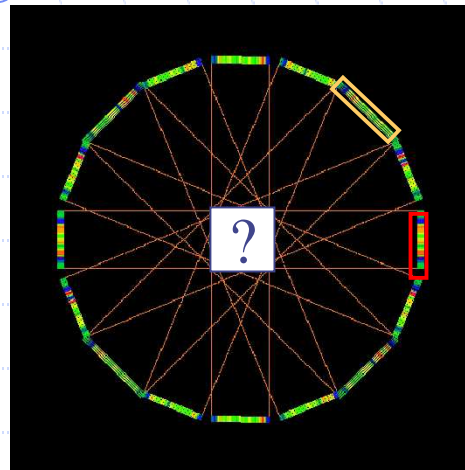
Johann Radon, "Über die Bestimmung von Funktionen durch ihre Integralwerte längs gewisser Mannigfaltigkeiten, Ber. Verh. Sach. Akad. 69 (1917), 262–77."

$$\hat{p}_{\vec{\omega}}(\sigma) = \hat{f}(\sigma \cos \phi, \sigma \sin \phi) = \hat{f}(\sigma \cdot \vec{\omega}^\perp)$$

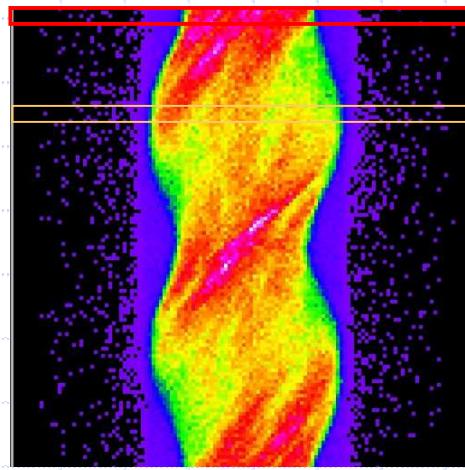
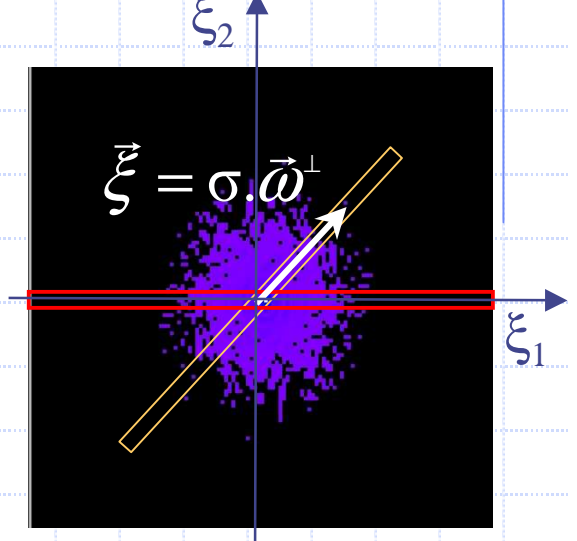
Interprétation (I)



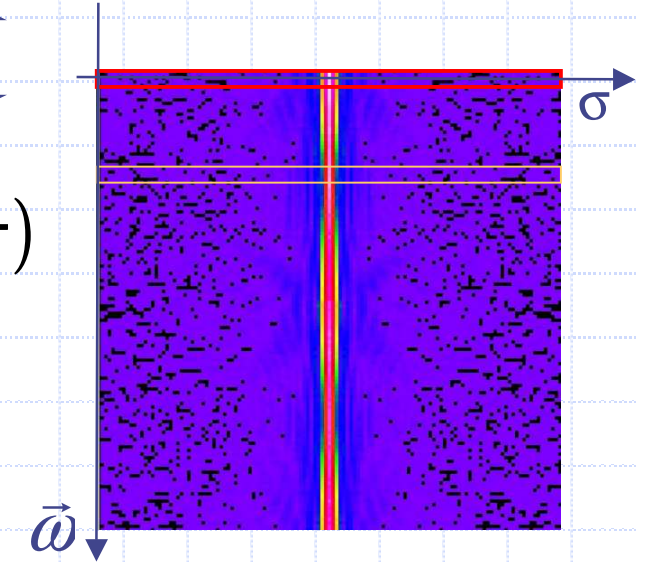
Interprétation (II)



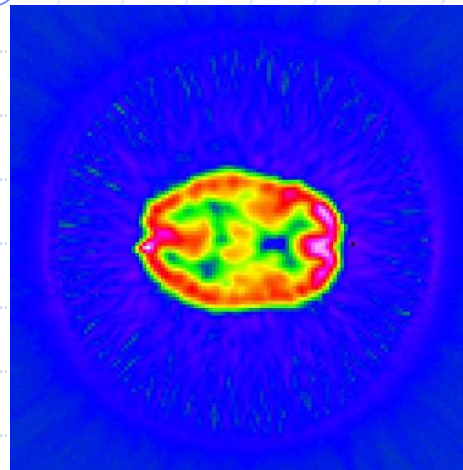
$$\hat{p}_{\vec{\omega}}(\sigma) = \hat{f}(\sigma \cdot \vec{\omega}^\perp)$$



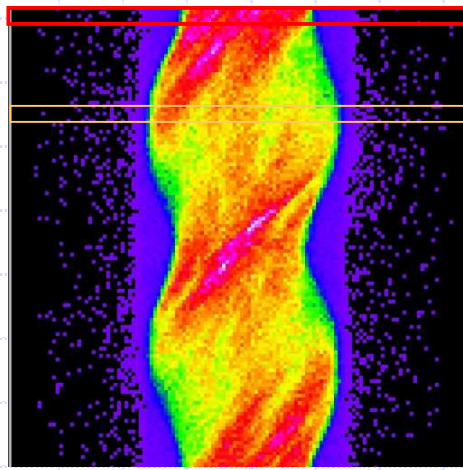
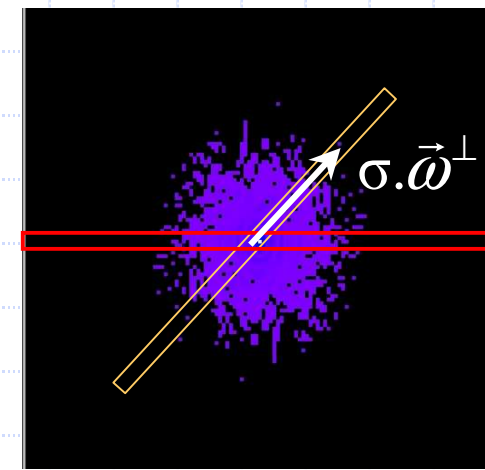
$$\begin{array}{c}
 f \xleftarrow{\text{TF}} \hat{f} \\
 \uparrow R \qquad \uparrow II \\
 p_{\vec{\omega}}(s) \xleftarrow{\text{TF}} \hat{p}_{\vec{\omega}}(\sigma)
 \end{array}$$



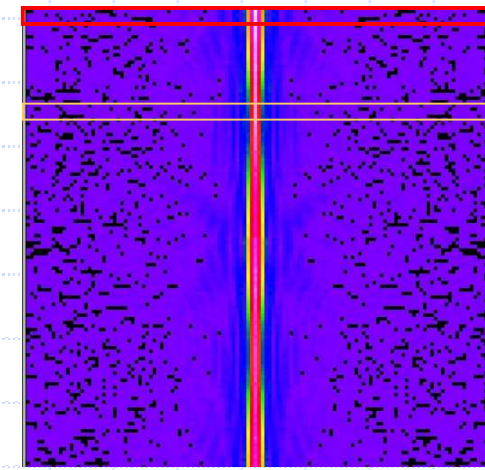
Interprétation (II)



$$\hat{p}_{\vec{\omega}}(\sigma) = \hat{f}(\sigma \cdot \vec{\omega}^\perp)$$



$$\begin{array}{c} f \xleftarrow{\text{TF}} \hat{f} \\ \uparrow R \qquad \uparrow II \\ p_{\vec{\omega}}(s) \xleftarrow{\text{TF}} \hat{p}_{\vec{\omega}}(\sigma) \end{array}$$



Rétroprojection filtrée (I)

$$f(\vec{x}) = \iint \hat{f}(\vec{\xi}) e^{i\vec{x}\cdot\vec{\xi}} d\vec{\xi}$$

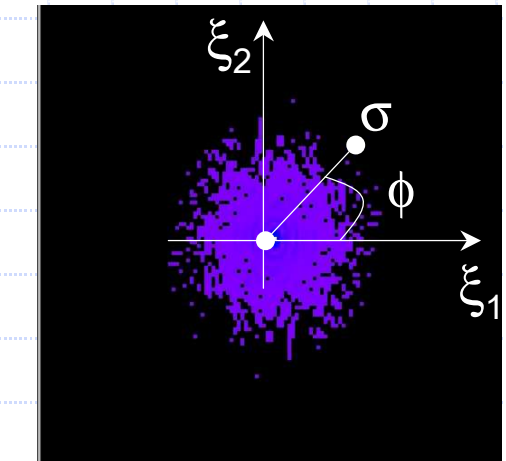
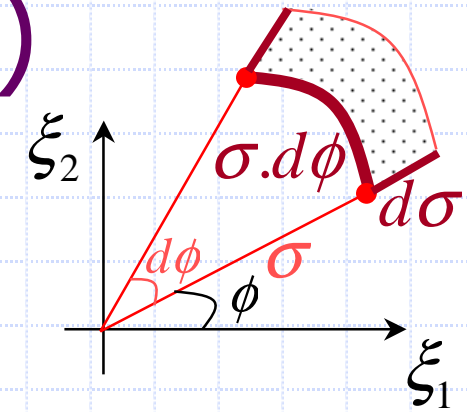
$$f(\vec{x}) = \int_{\phi=0}^{\pi} \int_{\sigma=-\infty}^{\sigma=+\infty} \hat{f}(\sigma \vec{\omega}^\perp) e^{i\sigma \vec{\omega}^\perp \cdot \vec{x}} |\sigma| d\sigma d\phi$$

$$f(\vec{x}) = \int_{\phi=0}^{\pi} \int_{\sigma=-\infty}^{\sigma=+\infty} \hat{p}_{\vec{\omega}}(\sigma) |\sigma| e^{i\sigma \vec{\omega}^\perp \cdot \vec{x}} d\sigma d\phi$$

$$\underbrace{\text{TF}_s^{-1}[\hat{p}_{\vec{\omega}} \cdot \text{abs}](\vec{\omega}^\perp \cdot \vec{x})}_{p_{\vec{\omega}}^f}$$

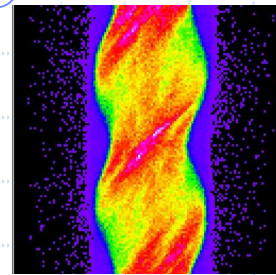


J. Radon
1887-1956



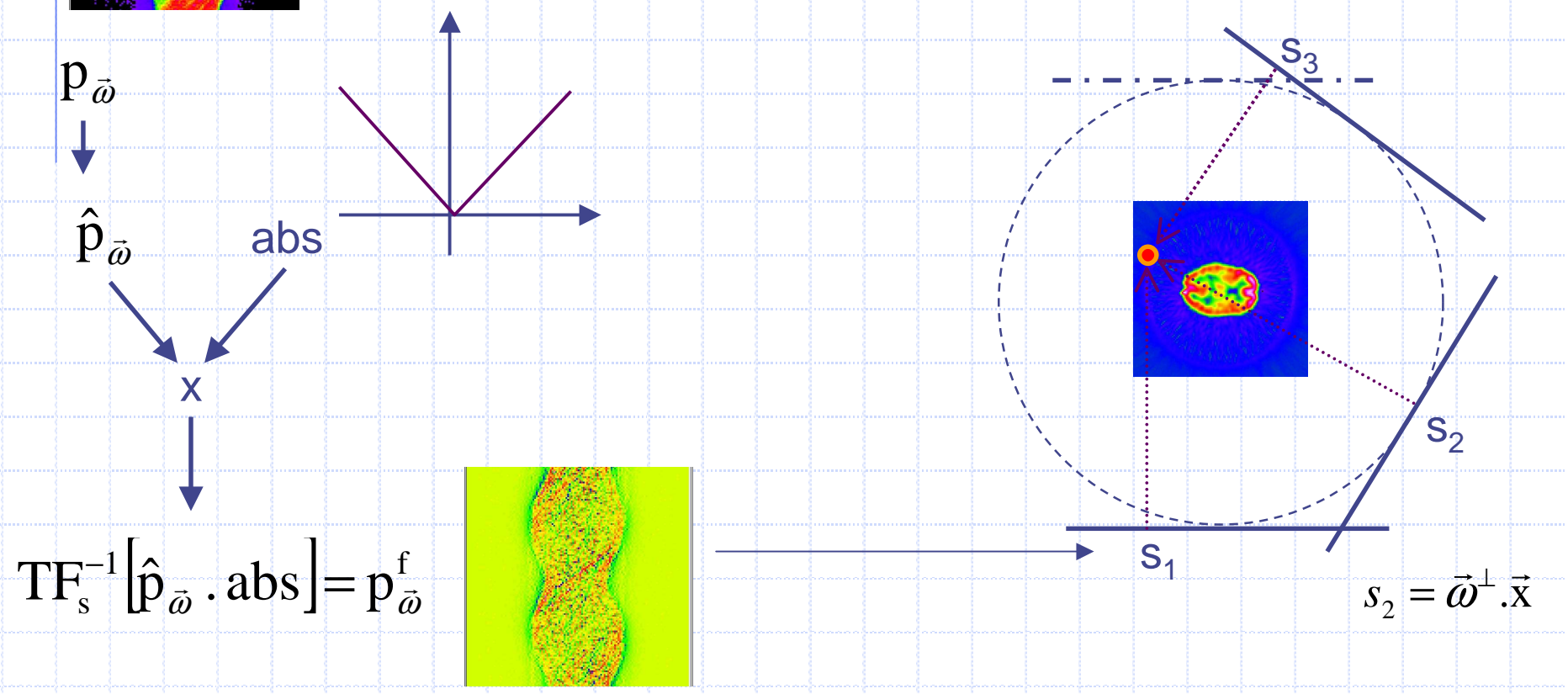
$$f(\vec{x}) = (R^* p^f)(\vec{x})$$

Rétroprojection filtrée (II)

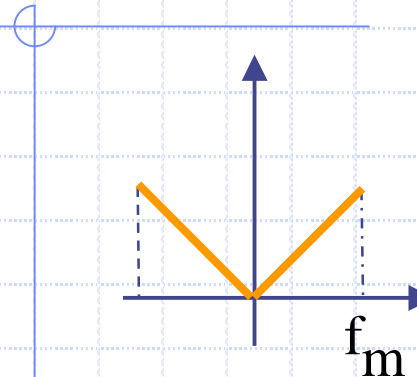


$$f(\vec{x}) = (R^* p^f)(\vec{x})$$

Projections sur 180°



Rétroprojection filtrée (III)



$$RL(x) = \frac{f_{\max} \sin(2\pi \cdot f_{\max} x)}{\pi \cdot x} - \frac{1 - \cos(2\pi \cdot f_{\max} x)}{2\pi^2 \cdot x^2}$$

$$f_{\max} = \frac{1}{2 \cdot d} = \frac{f_{\text{éch.}}}{2}$$

d = taille des pixel

$$p_{\vec{\omega}}^f = \text{TF}_s^{-1}[\hat{p}_{\vec{\omega}} \cdot \text{abs}]$$

$$p_{\vec{\omega}}^f = p_{\vec{\omega}} * RL$$

$$RL(k \cdot d) = \begin{cases} \frac{1}{4d^2} & k = 0 \\ 0 & k \neq 0 \text{ pair} \\ -\frac{1}{(k\pi \cdot d)^2} & k \text{ impair} \end{cases}$$

Exemple pour $d = \frac{1}{2}$, on obtient le filtre : $\begin{pmatrix} 0 & -\frac{1}{2,5} & 1 & -\frac{1}{2,5} & 0 \end{pmatrix}$

Rétrorprojection filtrée (IV)

0	0	0
0	0	0
0	0	0

← 15 ← 45

← 60 ← 90

← 15 ← 45

45 90 45

10	25	10
25	40	25
10	25	10

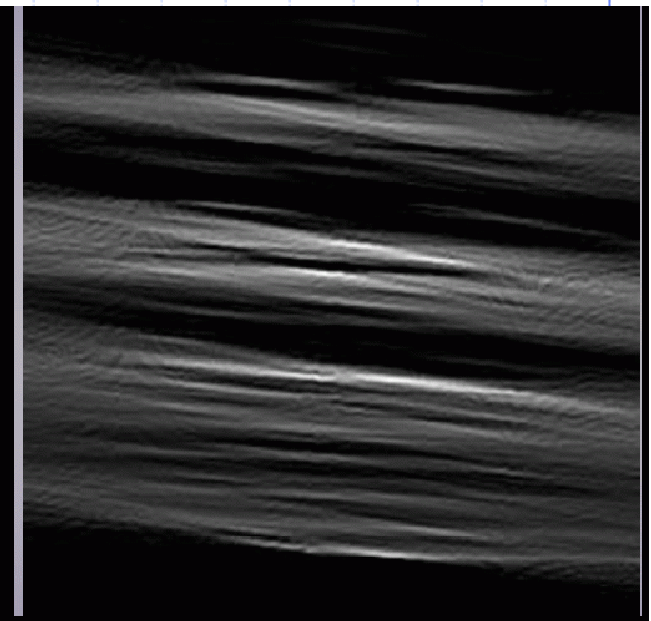
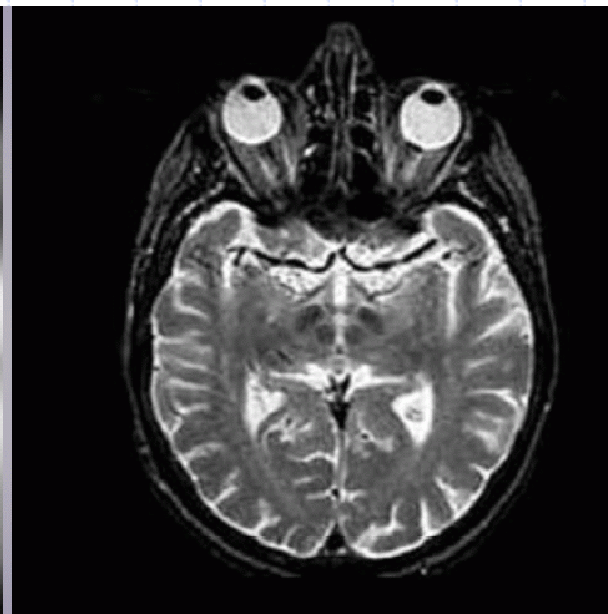
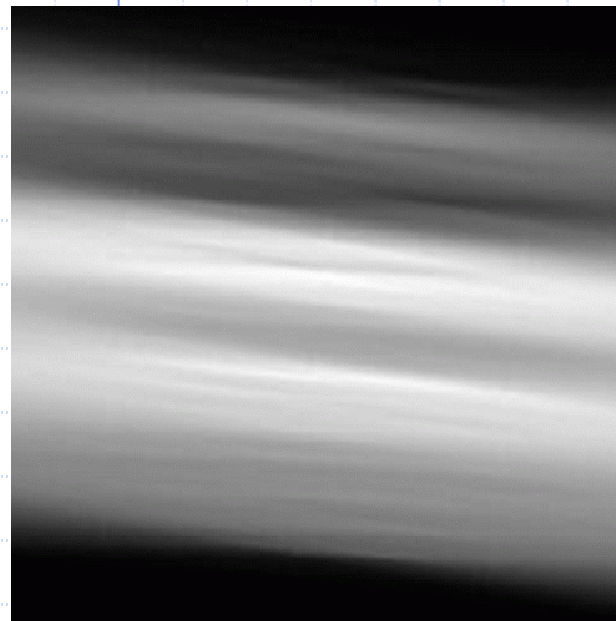
$$\text{Filtre} = \left(-\frac{1}{3}, 1, -\frac{1}{3} \right)$$

5	5	5
20	20	20
5	5	5

15 60 15

« illustration non
contractuelle !... »

Rétrécissement filtrée (V)



$$R^* p$$

$$R^* \text{TF}_s^{-1}[\hat{p}.\text{abs}]$$

Limites des techniques analytiques

◆ Nécessité de données sur 180°

- ◆ Problème important en TEP 3D.
- ◆ L'inversion directe ou la RPF ne fonctionnent pas sur des données tronquées.

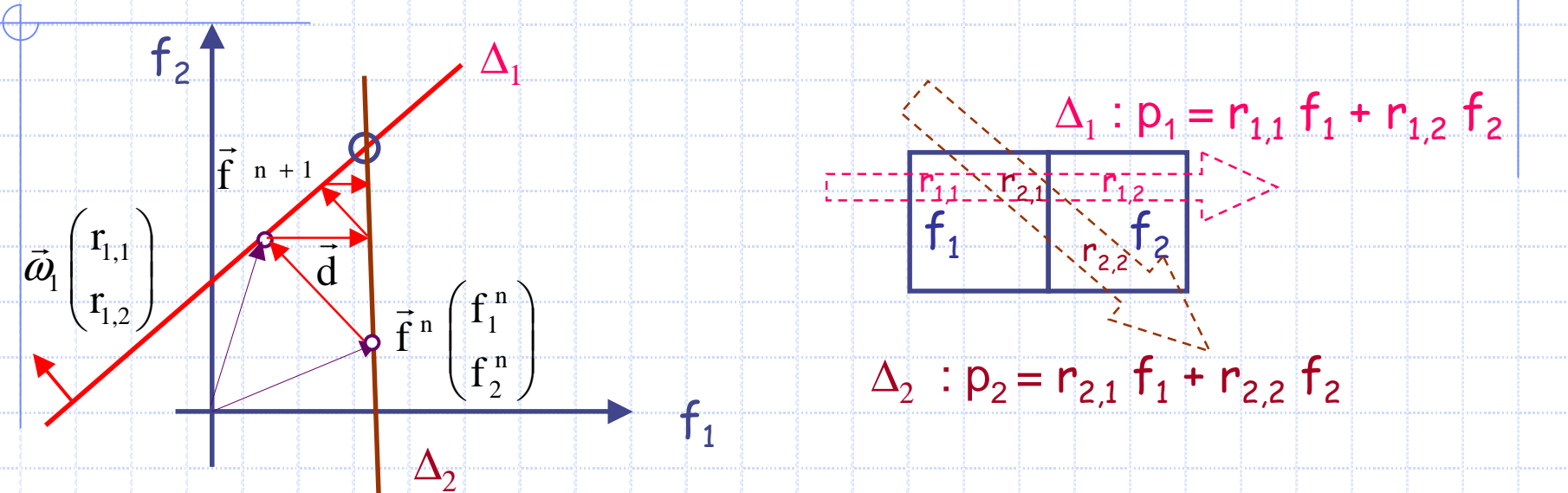
◆ Prise en compte des artefacts en SPECT et PET :

- ◆ Dans le théorème de la coupe centrale, $f(x)$ et non pas $f(x,s,\phi)$
- ◆ Difficulté majeure d'introduire des facteurs du type $\exp(-\mu L_{x,s,\phi})$
- ◆ D'où un problème pour corriger les artefacts d'atténuation (photoélectrique, Compton).
- ◆ En revanche, une déconvolution de la réponse impulsionnelle est faisable.

◆ Ajustement de la fréquence de coupure délicate

- ◆ Nécessité d'un filtre passe-bas associé au filtre valeur absolue

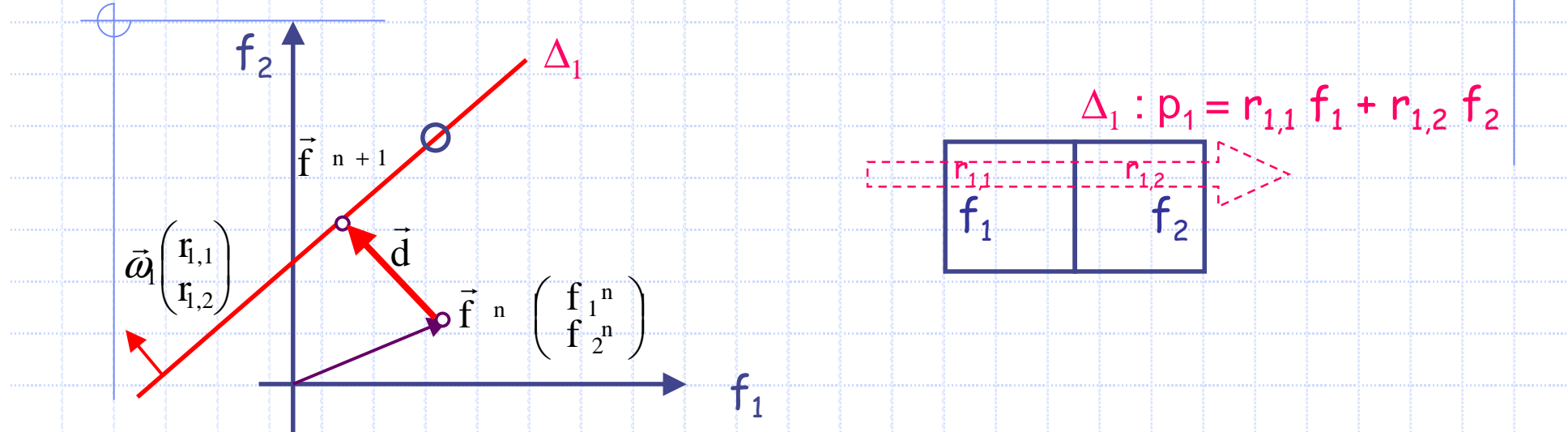
Algebraic Reconstruction Technique (I)



S. Kaczmarz
1895-1940

On construit une suite de coupes \vec{f}^n en projetant chaque itéré sur l'un puis l'autre hyperplan.

Algebraic Reconstruction Technique (II)



La distance d d'un point f^n à une droite Δ_1 est :



S. Kaczmarz
1895-1940

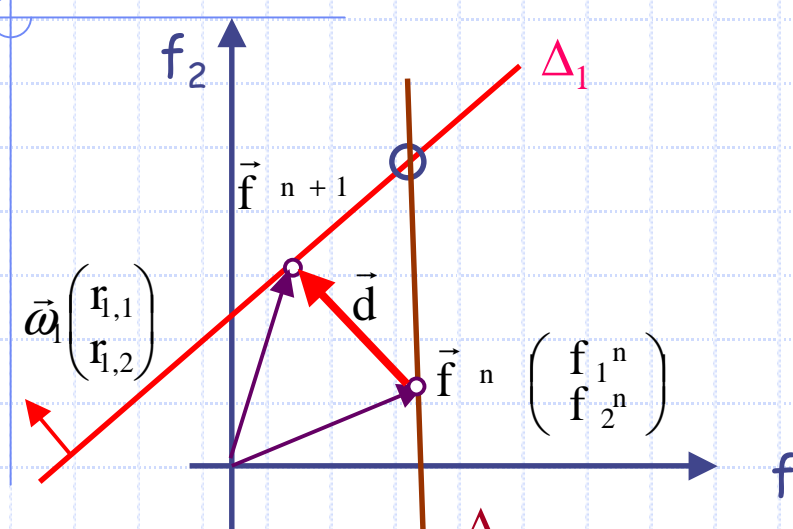
$$d = \frac{p_1 - \vec{f}^n \cdot \vec{\omega}_1}{\|\vec{\omega}_1\|}$$

$$d = \frac{p_1 - \vec{f}^n \cdot \vec{\omega}_1}{\|\vec{\omega}_1\|} = \frac{p_1 - p_1^n}{\|\vec{\omega}_1\|}$$

$p_1^n = r_{1,1} f_1^n + r_{1,2} f_2^n$, projection qui serait mesurée si f^n était la solution

Kaczmarz S. Angenäherte Auflösung von Systemen linearer Gleichungen. Bull Int Acad Pol Sci Lett A 1937;35:355-7.

Algebraic Reconstruction Technique (II)



$\Delta_1 : p_1 = r_{1,1} f_1 + r_{1,2} f_2$

$\Delta_2 : p_2 = r_{2,1} f_1 + r_{2,2} f_2$

$$\vec{f}^{n+1} = \vec{f}^n + d \frac{\vec{\omega}_1}{\|\vec{\omega}_1\|}$$

$$d = \frac{p_1 - \vec{f}^n \cdot \vec{\omega}_1}{\|\vec{\omega}_1\|}$$

$$\vec{f}^{n+1} = \vec{f}^n + \frac{p_1 - p_1^n}{\|\vec{\omega}_1\|^2} \vec{\omega}_1$$



S. Kaczmarz
1895-1940

$$\vec{f}^{n+1} = \vec{f}^n + R * (p_1 - p_1^n)$$

Kaczmarz S. Angenäherte Auflösung von Systemen linearer Gleichungen. Bull Int Acad Pol Sci Lett A 1937;35:355-7.

Algebraic Reconstruction Technique (III)

0	0	0
0	0	0
0	0	0

$$45 - 0 = 15 + 15 + 15$$

$$90 - 0 = 30 + 30 + 30$$

$$45 - 0$$

15	15	15
30	30	30
15	15	15

45 90 45

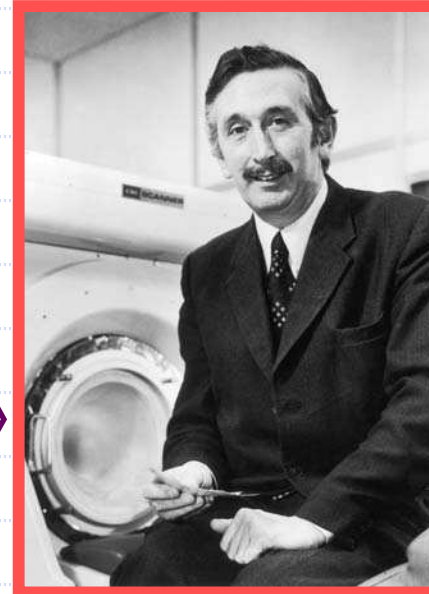
10	25	10
25	40	25
10	25	10

45 90 45
- 60 60 60
-15 30 -15

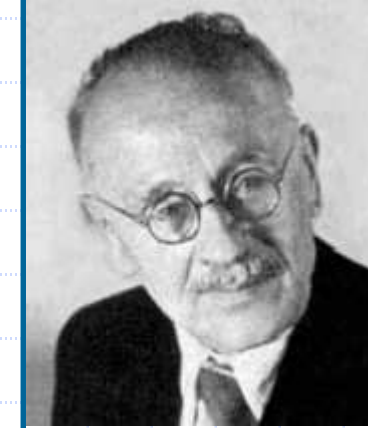
$$\vec{f}^{n+1} = \vec{f}^n + R * (p_1 - p_f)$$

« illustration non contractuelle !... »

Conclusion



G. Hounsfield 1919-2004



J. Radon
1887-1956

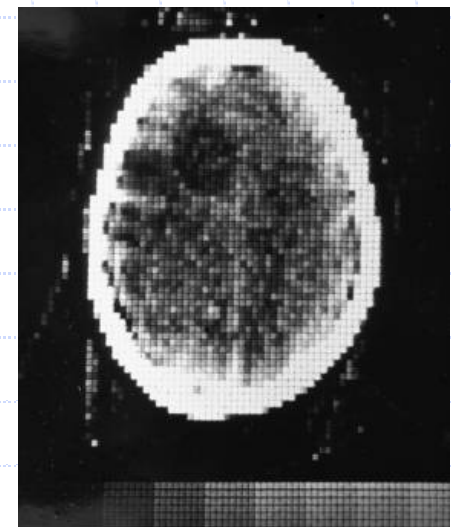
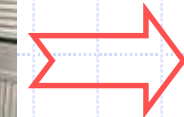


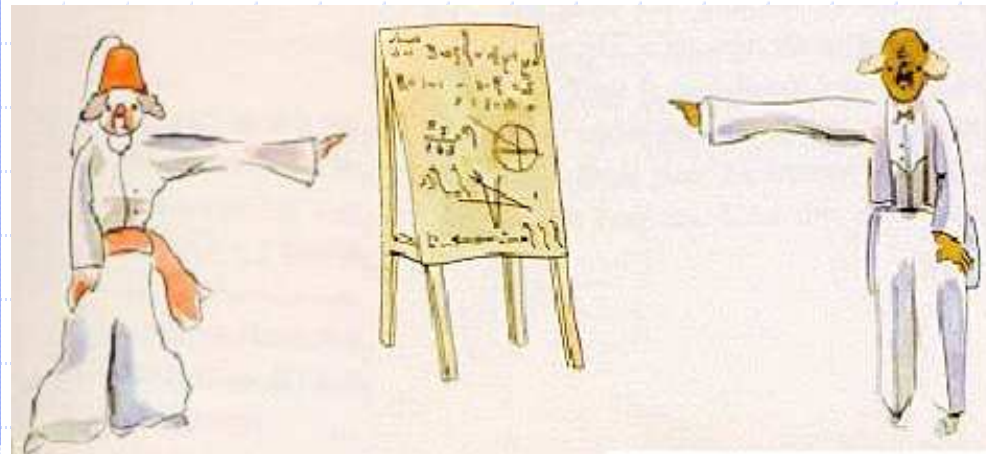
S. Kaczmarz
1895-1940

$$\hat{p}_{\bar{\theta}}(\sigma) = \hat{f}(\sigma \cdot \vec{\theta})$$

$$f(\vec{x}) = (R^* p^f)(\vec{x})$$

$$\vec{f}^{n+1} = \vec{f}^n + R^*(p_1 - p_1^n)$$





Bibliographie :

The Mathematics of
Computerized Tomography.
F. Natterer. 2001. SIAM.

Reconstruction tomographique en
imagerie médicale. D. Mariano-Goulart
Encyclopédie Médico-chirurgicale,
35-105-A-10, 2009.

Merci de votre attention...

denis.mariano-goulart@univ-montp1.fr